

# 等离子体中双撕裂模线性增长率分析

宋绍瑞, 龚学余

(南华大学 数理学院, 湖南 衡阳 421001)

**摘要:** 在托卡马克等离子体中, 撕裂不稳定存在已被人们广泛认识, 针对双撕裂模线性增长情况, 采用边界层法对其增长率进行了分析, 并进行了数值模拟。

**关键词:** 等离子体; 双撕裂模; 增长率; 边界层方法

中图分类号: O534

文献标志码: A

文章编号: 1673-9833(2011)01-0029-05

## Analysis on the Linear Growth Rate of Double-Tearing Mode in Plasmas

Song Shaorui, Gong Xueyu

(School of Mathematics and Physics, University of South China, Hengyang Hunan 421001, China)

**Abstract:** The presence of tearing instability in Tokamak plasma has been widely recognized. In view of the linear growth of double-tearing mode, analyses its growth rate with boundary layer method and simulates the results.

**Keywords:** plasmas; double-tearing mode; the growth rate; boundary layer method

### 0 引言

理想等离子体的重要特征之一是“磁冻结”效应, 因此, 不稳定性涉及等离子体相对磁场的运动和运动特征时间尺度。当2条反向磁力线足够接近至非理想状态, 以至于随它们一起运动的“等离子体元”分辨不出自己到底属于哪一条磁力线时, 在此区域内的磁力线已经不是原来的磁力线了, 它们之间的连接形式发生了重组, 即磁重联<sup>[1]</sup>。显然, 磁重联伴随磁场拓扑的变化, 撕裂模就是一种典型的磁重联过程。

对撕裂模的理论研究表明: 经典撕裂模尺度线性增长率为 $\gamma \sim S^{-3/5} \tau_h^{-1}$ , 其中 $S = \tau_r / \tau_h$  ( $\tau_r = a^2 / \eta$ ,  $\tau_h = a / V_A$ ) 是磁雷诺数<sup>[1-2]</sup>。在 $m=1$ 的柱形几何位形下, 且仅考虑电阻而不计反常电子黏滞时, 其线性增长率为 $\gamma \sim S^{-1/3} \tau_h^{-1}$ , 反之 $\gamma \sim R^{-1/5} \tau_v^{-1}$ 。对于存在多重有理面的情况, 等离子体会产生双撕裂模, 当这些有理面之间距离足够小时, 它们之间的相互作用不断增大, 则等离

子体会变得更加不稳定。笔者对此种情况下双撕裂模增长作详尽推导分析, 为进一步对其线性和非线性演化情况的分析提供理论基础。

### 1 磁流体力学平衡方程

考虑平板几何位形, 磁感应强度可表示为<sup>[2]</sup>:

$$\mathbf{B}_0 = B_{0y}(x)\mathbf{y} + B_{0z}(x)\mathbf{z} \quad (1)$$

假定在 $x$ 方向等离子片长度为 $a$ , 电流沿 $\mathbf{z}$ 方向且等离子体是不可压缩的, 矢量场 $\mathbf{B}_\perp$ 和 $\mathbf{V}_\perp$ 可用通量函数 $\psi$ 和流量函数 $\phi$ 表示为:

$$\mathbf{B}_\perp = \nabla\psi \times \mathbf{z}, \quad (2)$$

$$\mathbf{V}_\perp = \nabla\phi \times \mathbf{z} \quad (3)$$

欧姆定律和 $\mathbf{z}$ 方向电流表示为:

$$\mathbf{E} = \eta \mathbf{j} - \frac{1}{c} \mathbf{V} \times \mathbf{B} - \frac{m_e v_e c^2}{n_e e^2} \nabla^2 \mathbf{j}, \quad (4)$$

$$\mathbf{J}_z = -\nabla^2 \psi \quad (5)$$

收稿日期: 2010-11-21

作者简介: 宋绍瑞(1972-), 男, 江苏宿迁人, 南华大学硕士生, 主要研究方向为等离子体物理,

E-mail: songshaorui2007@126.com

方程式(4)取 $z$ 方向分量就变化为:

$$\frac{\partial \psi}{\partial t} = -(\mathbf{V} \cdot \nabla) \psi + \frac{c^2}{4\pi} \eta \nabla^2 \psi - \frac{m_e n_e c^2}{4\pi n_e e^2} \nabla^4 \psi, \quad (6)$$

$\phi$ 满足运动方程(取 $z$ 方向分量)

$$\frac{\partial}{\partial t} (\nabla^2 \phi) = -(\mathbf{V} \cdot \nabla) (\nabla^2 \phi) + \frac{1}{4\pi \rho} [\nabla (\nabla^2 \psi) \times \nabla \psi] \cdot \mathbf{z}. \quad (7)$$

假定 $\eta, \rho, \mu_e$ 为常数,微扰形式为

$f - f(x) \exp(ik_y y + \gamma t)$ ,把方程式(6)和式(7)线性化可得:

$$\begin{aligned} \gamma \psi_1 = & V_x B_{0y}(x) + \frac{\eta c^2}{4\pi} \left( \frac{\partial^2 \psi_1}{\partial x^2} - k_y^2 \psi_1 \right) - \\ & \frac{\mu_e c^2}{\omega_{pe}^2} \left( \frac{\partial^4 \psi_1}{\partial x^4} - k_y^4 \psi_1 \right), \end{aligned} \quad (8)$$

$$\rho \gamma \left( \frac{\partial^2 \phi}{\partial x^2} - k_y^2 \phi \right) = -\frac{ik_y}{4\pi} B_{0y}''(x) \left( \frac{\partial^2 \psi_1}{\partial x^2} - k_y^2 \psi_1 \right), \quad (9)$$

在把长度归为 $a$ ,时间为 $\tau_h$ ,磁场强度为 $B_0$ 时,方程式(8)和式(9)转化为无量纲形式:

$$\begin{aligned} \gamma \tau_h \psi_1 = & \gamma \tau_h \xi B_{0y}(x) + \frac{1}{S} \left( \frac{\partial^2 \psi_1}{\partial x^2} - \alpha^2 \psi_1 \right) - \\ & \frac{1}{R} \left( \frac{\partial^4 \psi_1}{\partial x^4} + \alpha^4 \psi_1 \right), \end{aligned} \quad (10)$$

$$\begin{aligned} (\gamma \tau_h)^2 \left( \frac{\partial^2 \xi}{\partial x^2} - \alpha^2 \xi \right) = & \alpha^2 B_{0y}''(x) \psi_1 - \\ & \alpha^2 B_{0y}(x) \left( \frac{\partial^2 \psi_1}{\partial x^2} - \alpha^2 \psi_1 \right), \end{aligned} \quad (11)$$

式中: $\alpha = k_y a, \xi = ik_y \phi / \gamma a, R = \tau_v / \tau_h$ ;

$S = \tau_r / \tau_h$ 为磁雷诺数;

$\tau_v = a^4 \omega_{pe}^2 / \mu_e c^2$ 为黏滞扩散时间。

## 2 撕裂模增长率分析

已有文献对常数磁通近似和 $m=1$ 柱形几何位形下撕裂模的线性增长率作过较详细的研究<sup>[2-5]</sup>。本文中笔者利用简化磁流体力学方程,分2种情况分析并推导双撕裂模的线性增长率。

1) 仅考虑电阻而忽略由湍流引起反常电子黏滞效应的情况下,双撕裂模的线性增长率。

忽略反常电子黏滞效应后,式(10)可简化为:

$$\gamma \tau_h \psi_1 = \gamma \tau_h \xi B_{0y}(x) + \frac{1}{S} \left( \frac{\partial^2 \psi_1}{\partial x^2} - \alpha^2 \psi_1 \right), \quad (12)$$

式中: $B_{0y}(x)$ 在 $x = \pm x_s$ 处为0, $J_{0z}$ 最大。见图1。

由于磁雷诺数很大(通常 $S \sim 10^6$ ),方程式(12)中的电阻项显得十分重要。下面采用边界层法求解内区( $|x| < x_s$ )和外区( $|x| > x_s$ )式(12)的解,并用匹配条件将求解结果连接起来。

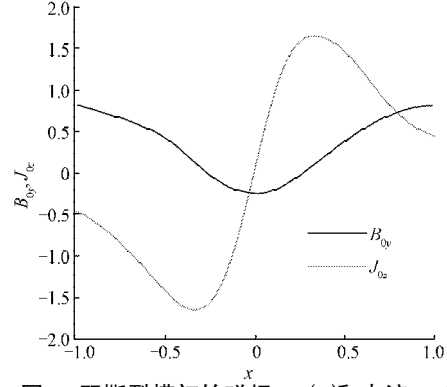


图1 双撕裂模初始磁场 $B_{0y}(x)$ 和电流 $J_{0z}(x)$

Fig. 1 Initial magnetic field  $B_{0y}(x)$  and initial current  $J_{0z}(x)$  for the double-tearing mode

在外区,系统可作为理想等离子体来处理,方程式(12)满足 $\psi_1 = B_{0y}(x) \xi$ ,将其代入方程式(11)可得到

$$\begin{aligned} \frac{d}{dx} \left[ (\gamma \tau_h)^2 + (\alpha B_{0y}(x))^2 \right] \frac{d\xi}{dx} = \\ \alpha^4 \left[ (\gamma \tau_h)^2 + (\alpha B_{0y}(x))^2 \right] \xi, \end{aligned} \quad (13)$$

方程式(13)的内部项 $(\gamma \tau_h)^2$ 仅在 $|x| = x_s$ 附近小区域内起作用,此时 $\gamma \tau_h \sim \alpha B_{0y}(x)$ 。在外部区域, $\gamma \tau_h$ 可以忽略,则方程式(13)可简化为:

$$\frac{d}{dx} (\alpha B_{0y}(x))^2 \frac{d\xi}{dx} = \alpha^4 B_{0y}^2(x) \xi, \quad (14)$$

方程式(14)的解可用参数 $\alpha^2 x^2$ 的幂级数表示,即

$$\xi = \xi_0 + \xi_1 + \xi_2 + \dots$$

对于最低级次,式(14)可简化为:

$$\frac{d}{dx} \left[ (\alpha B_{0y}(x))^2 \right] \frac{d\xi_0}{dx} = 0. \quad (15)$$

由于 $\xi_0$ 关于 $x=0$ 对称,且 $|x| = x_s$ 是奇异面,故方程式(15)的解可表示为:

$$\begin{cases} \xi_0(x) = \xi_\infty = \text{const} & (|x| < x_s), \\ \xi_0(x) = 0 & (|x| > x_s). \end{cases} \quad (16)$$

而 $\xi_1(x)$ 可写为:

$$\begin{cases} (\xi_\infty)^{-1} \frac{d\xi_1}{dx} = \left( \frac{\alpha}{B_{0y}(x)} \right)^2 \int_0^x B_{0y}^2(x') dx' & (|x| < x_s), \\ (\xi_\infty)^{-1} \frac{d\xi_1}{dx} = \left( \frac{\alpha}{B_{0y}(x)} \right)^2 \int_0^{x_s} B_{0y}^2(x') dx' & (|x| > x_s). \end{cases} \quad (17)$$

在  $x=x_s$  附近将  $B_{0y}(x)$  按泰勒级数展开, 忽略方程式 (13) 右边的项, 则式 (17) 与式 (16) 匹配可得到

$$\xi(x) = \frac{1}{2} \xi_\infty \left[ 1 - \frac{2}{\pi} \arctan(\alpha B_{0y}'(x-x_s)/\gamma\tau_h) \right], \quad (18)$$

对方程式 (18) 求导, 且有  $\alpha B_{0y}'(x-x_s)/\gamma\tau_h \sim -\infty$ ,

$B_{0y}(x) \approx B_{0y}(x_s) = B_{0y}'$ , 同时对方程式 (17) 求导, 且  $x \sim x_s$  并令两者相等, 可得双扭曲模的增长率为:

$$\gamma\tau_h = -\frac{\pi\alpha^3}{B_{0y}'} \int_0^{x_s} B_{0y}''(x') dx',$$

从此式可看出: 在平板几何位形下, 双扭曲模是稳定的<sup>[6]</sup>。但电阻和反常电子黏滞可使双撕裂模变得不稳定。在外部区域 ( $|x| > x_s$ ), 解的形式仍用式 (16) 和式 (17) 表示; 在内部区域 ( $|x| < x_s$ ), 忽略  $\alpha^2$  且把  $B_{0y}(x)$  在有理面  $x_s$  附近展开, 则式 (11) 和式 (12) 可化为:

$$(\gamma\tau_h)^2 \xi'' = -\alpha^2 B_{0y}''(x-x_s) \psi'', \quad (19)$$

$$\gamma\tau_h \psi_1 = \gamma\tau_h B_{0y}''(x-x_s) \xi + \frac{1}{S} \psi_1'', \quad (20)$$

求方程式 (19) 和式 (20) 的解, 并与外部的解匹配, 就可得到如下耗散关系,

$$\hat{\lambda}^{5/4} \hat{\lambda}_h \left[ (\hat{\lambda}^{3/2} - 1)/4 \right] / \Gamma \left[ (\hat{\lambda}^{3/2} + 5)/4 \right] = 8, \quad (21)$$

式中:  $\hat{\lambda} = \gamma\tau_h (S/\alpha^2 B_{0y}'^2)^{1/3}$ ,  $\hat{\lambda}_h = \gamma\tau_h (S/\alpha^2 B_{0y}''^2)^{1/3}$ , (22)

将  $\hat{\lambda}$  作为  $\hat{\lambda}_h$  的函数, 式 (21) 耗散关系的数值解如图 2 所示<sup>[6]</sup>。

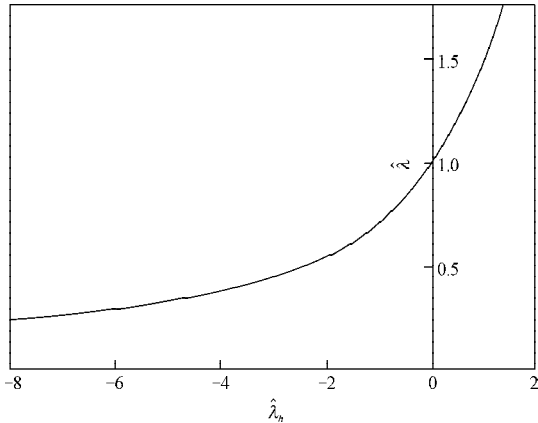


图2 仅考虑电阻率时耗散关系  $\hat{\lambda}$  和  $\hat{\lambda}_h$  数值解  
Fig. 2 Solution of the dispersion relation of  $\hat{\lambda}$  vs  $\hat{\lambda}_h$  for resistivity

当 2 有理面之间距离足够小时, 据式 (22), 在  $|\lambda_h| \ll 1$  和  $\hat{\lambda} \approx 1$  的情况下, 双撕裂模增长率可表示为:

$$\gamma\tau_h = (\alpha^2 B_{0y}'^2 / S)^{1/3}. \quad (23)$$

当 2 有理面之间距离足够大, 且  $|\lambda_h| \gg 1$  和  $\hat{\lambda} \ll 1$  的情

况下, 由式 (21) 和式 (22) 可得其增长率为:

$$\gamma\tau_h \approx \left( \frac{8\Gamma(5/4)}{\gamma_h \tau_h \Gamma(-1/4)} \right)^{4/5} \left( \frac{\alpha^2 B_{0y}'^2}{S} \right)^{3/5}. \quad (24)$$

2) 仅考虑由湍流引起反常电子黏滞效应而忽略电阻的情况下, 双撕裂模的线性增长率。

忽略电阻时, 方程式 (10) 和式 (11) 可简化为:

$$(\gamma\tau_h)^2 = -\alpha^2 B_{0y}'(x-x_s) \psi_1'', \quad (25)$$

$$\gamma\tau_h \psi_1 = \gamma\tau_h B_{0y}'(x-x_s) \xi - \frac{1}{R} \frac{\partial^4 \psi_1}{\partial x^4}. \quad (26)$$

忽略  $\alpha^2$  并采用变换  $x-x_s \sim x$ ,  $\psi_1/B_{0y}' \sim \psi_1$ ,  $\xi \sim -\xi$ , 则方程式 (25) 和式 (26) 可转换为:

$$\xi'' = \frac{x}{\lambda^2} \psi_1'', \quad (27)$$

$$\psi_1 = -x\xi - \frac{\sigma}{\lambda} \psi_1^{(4)}, \quad (28)$$

式中:  $\lambda = \gamma\tau_h / \alpha B_{0y}'$ ,  $\sigma = 1/R\alpha B_{0y}'$ .

再引进函数

$$X(x) = x\psi_1' - \psi_1 = \lambda^2 \frac{d\xi}{dx} + X_\infty, \quad (29)$$

方程式 (27) 和式 (28) 可化为微分方程

$$\sigma\lambda \left[ \frac{d^4 X}{dx^4} - \frac{4}{x} \frac{d^3 X}{dx^3} + \frac{8}{x^2} \frac{d^2 X}{dx^2} - \frac{8}{x^3} \frac{dX}{dx} \right] + (\lambda^2 + x^2)X = x^2 X_\infty, \quad (30)$$

式中:  $X_\infty$  为常数, 由方程式 (30) 解的渐进性确定。

解方程式 (30) 可得耗散关系为:

$$\lambda = \lambda_h \left[ \frac{\hat{\lambda}^{5/2}}{16 \times 2 \left( \frac{\hat{\lambda}^{5/3} + 1}{3 \times 2^{4/3} + 4} \right)^{\lambda = \lambda_h}} \times \frac{\Gamma \left( \frac{\hat{\lambda}^{5/3}}{6 \times 2^{1/3}} - \frac{1}{12} \right)}{\Gamma \left( \frac{\hat{\lambda}^{5/3}}{6 \times 2^{1/3}} + \frac{17}{12} \right)} \times F \left( -\frac{\hat{\lambda}^{5/3}}{6 \times 2^{1/3}} - \frac{3}{4}, \frac{\hat{\lambda}^{5/3}}{6 \times 2^{1/3}} - \frac{1}{12}, \frac{\hat{\lambda}^{5/3}}{6 \times 2^{1/3}} + \frac{17}{12}, -1 \right) \right], \quad (31)$$

这里  $F$  是 hypergeometric function<sup>[7]</sup>, 即

$$F(a, b, c, z) = \frac{\Gamma(c)}{\Gamma(a)\Gamma(b)} \sum_{n=0}^{\infty} \frac{\Gamma(a+n)\Gamma(b+n)}{\Gamma(c+n)} \times \frac{z^n}{n!}. \quad (32)$$

式 (31) 耗散关系的数值解可用图 3 来表示<sup>[8]</sup>。此耗散关系仅在耗散层  $\Delta \ll x_s$  时才正确。

当 2 有理面距离足够小, 且在  $|\lambda_h| \ll 1$  和  $\alpha x_s \ll 1$  的情况下, 利用关系  $\hat{\lambda}_h = \lambda_h / \sigma^{1/3} = \gamma_h \tau_h (R/\alpha^4 B_{0y}''^4)^{1/3}$ , 可得双撕裂模的线性增长率为:

$$\gamma\tau_h = 0.8 (\alpha^4 B_{0y}'^4 / R)^{1/5} \quad (33)$$

当2有理面距离足够大,且在 $|\lambda_h| \gg 1$ 和 $\alpha x_s \ll 1$ 的情况下,利用关系 $\hat{\lambda}_h = \lambda_h / \sigma^{1/5} = \gamma\tau_h (R/\alpha^4 B_{0y}'^4)^{1/3}$ ,可得双撕裂模的线性增长率为:

$$\gamma\tau_h = \text{const} (\gamma_h \tau_h)^{-2/3} (\alpha^4 B_{0y}'^4 / R)^{1/3} \quad (34)$$

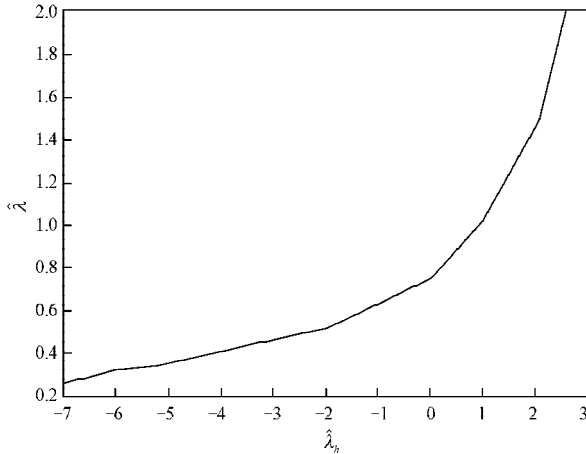


图3 仅考虑电子黏滞时耗散关系的数值解 $\hat{\lambda}$ 和 $\hat{\lambda}_h$ 的关系  
Fig. 3 Solution of the dispersion relation of  $\hat{\lambda}$  vs  $\hat{\lambda}_h$  for electron viscosity

### 3 数值模拟

运用同一位形<sup>[9]</sup>

$$B_{0y}(x) = 1 - (1 + B_C) \text{sech}(\xi x), \quad (35)$$

式中:  $\xi x = \text{arc sech}(1 + B_C)^{-1}$ ,  $B_{0y}(\pm x_s) = 0$ ,  $B_{0y}(0) = -B_C$ . 当 $x \rightarrow \pm\infty$ 时,  $B_{0y}(x) \sim 1$ , 选择 $B_C$ 的目的是使 $B_{0y}'(x_s) = \pi/2$ , 图1是磁场 $B_{0y}(x)$ 和 $J_{0z} = dB_{0y}(x)/dx$ 的典型图例。

1) 在考虑电阻效应忽略反常电子黏滞效应的情况下,画出 $\gamma\tau_h$ 和 $\alpha$ 的关系曲线,如图4。

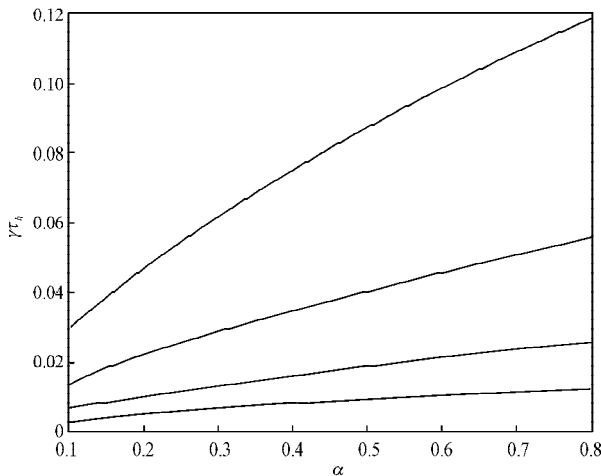


图4 仅考虑电阻率时双撕裂模增长率 $\gamma\tau_h$ 和 $\alpha$ 关系  
Fig. 4 The relation of  $\gamma\tau_h$  vs  $\alpha$  for resistivity

图4曲线的绘制条件为:把 $\gamma\tau_h$ 看作 $\alpha$ 的函数,对应不同 $S$ 值(从上自下依次为940, 9400, 94000, 940000),其中 $x_s=0.25$ 。

2) 同样在考虑反常电子黏滞效应而忽略电阻的情况下,把 $\gamma\tau_h$ 看作 $\alpha$ 的函数,对应不同 $R$ 值(从上自下依次为9900, 99000, 990000, 9900000),其中 $x_s=0.25$ ,画出 $\gamma\tau_h$ 和 $\alpha$ 的关系曲线,见图5。

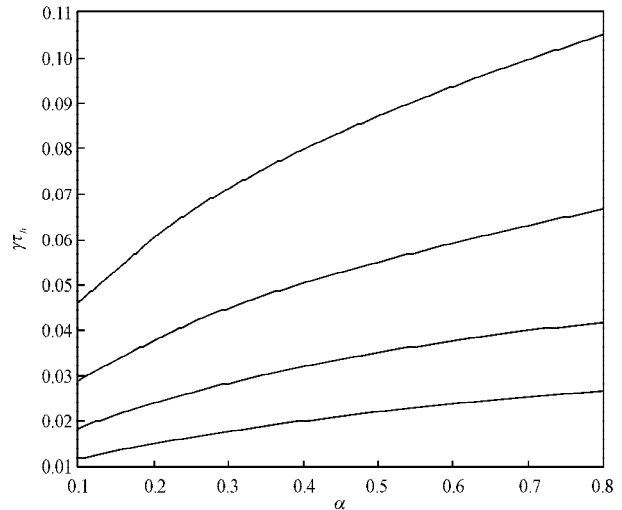


图5 仅考虑电子黏滞时双撕裂模增长率 $\gamma\tau_h$ 和 $\alpha$ 关系  
Fig. 5 The relation of  $\gamma\tau_h$  vs  $\alpha$  for electron viscosity

### 4 结语

在具有多重有理面的等离子体中,当2有理面之间距离足够小时,磁岛会相互驱动增长。笔者通过理论分析,导出了双撕裂模的线性增长率。在考虑电阻效应忽略反常电子黏滞效应的情况下,当2有理面之间距离足够小时,双撕裂模的线性增长率 $\gamma \sim S^{-1/3} \tau_h^{-1}$ ,反之 $\gamma \sim S^{-3/5} \tau_h^{-1}$ ;在考虑反常电子黏滞效应而忽略电阻的情况下,当2有理面之间距离足够小时,双撕裂模的线性增长率 $\gamma \sim R^{-1/5} \tau_h$ ,反之 $\gamma \sim R^{-1/3} \tau_h$ 。

#### 参考文献:

- [1] 王晓钢.电阻磁流体模式[R]/2008全国等离子体物理暑期学校讲义.合肥:中国科技大学,2008:8-10.  
Wang Xiaogang. MHD Modes[R]/National 2008 Plasma Physics Summer School Lectures. Hefei: University of Science and Technology of China, 2008: 8-10.
- [2] Futh H P, Killeen J, Rosenbluth M N. Finite-Resistivity Instabilities of a Sheet Pinch[J]. Physics of Fluids, 1963, 6 (4): 459-484.
- [3] Kaw P K, Valeo E J, Ruthford P H. Tearing Modes in a Plasma with Magnetic Braiding[J]. Phys. Rev. Lett., 1979, 43: 1398-

- 1401.
- [4] Drake J F. Kinetic Theory of  $m=1$  Internal Instabilities[J]. Physics of Fluids, 1978, 21(10): 1777-1789.
- [5] White R B. Resistive Instabilities and Field Reconnection[M]. Rosenbluth M N, Galeev R Z, Edited. Amsterdam: North-Holland Publishing Company, 1983: 611-677.
- [6] Pritchett P L, Lee Y C, Drake J F. Linear Analysis of the Double-Tearing Mode[J]. Physics of Fluids, 1980, 23(7): 1368-1374.
- [7] Oberhettinger F. Hypergeometric Functions[M]. Abramowitz M, Stegun I A. Edited. New York: Dover Publication, 1986: 555-565.
- [8] Dong J Q, Mahajan S M, Horton W. Double Tearing Mode in Plasmas with Anomalous Electron Viscosity[J]. Physics of Plasmas, 2003, 10(8): 3151-3159.
- [9] Schnack D, Killeen J. Theoretical and Computational Plasma Physics[M]. Vienna: International Atomic Energy Agency, 1978: 337-360.
- (责任编辑: 李玉珍)



(上接第 28 页)

- [5] 彭炎荣, 段继承, 江 荧, 等. 宽板弯曲过程中板厚的变化规律[J]. 模具技术, 2003, 121(1): 10-12.  
Peng Yanrong, Duan Jicheng, Jiang Ying, et al. Law of Thickness Variation in the Wide Sheet Bending[J]. Die and Mould Technology, 2003, 121(1): 10-12.
- [6] 戴宏胜, 龚曙光, 彭炎荣, 等. 宽板塑性弯曲应变增量中性层的分析[J]. 塑性工程学报, 2010, 17(3): 81-84.  
Dai Hongsheng, Gong Shuguang, Peng Yanrong, et al. Study on the Strain-Increment Neutral Layer in Wide Sheet Plastic Bending[J]. Journal of Plasticity Engineering, 2010, 17(3): 81-84.
- [7] 江 荧, 罗文波, 彭 定, 等. 关于理想塑性板材弯曲变薄理论解的矛盾及原因分析[J]. 塑性工程学报, 2006, 13(1): 26-28.  
Jiang Ying, Luo Wenbo, Peng Ding, et al. Contradiction of Theoretical Solution and the Reasons about Thickness Variation of Ideal Plastic Metal Sheet Bending[J]. Journal of Plasticity Engineering, 2006, 13(1): 26-28.
- [8] 江 荧, 罗文波, 彭 定, 等. 关于宽板塑性弯曲变薄理论解的讨论[J]. 金属成形工艺, 2004, 22(3): 30-32.  
Jiang Ying, Luo Wenbo, Peng Ding, et al. Discuss on Theoretical Solution of Thickness Variation for Wide Sheet Plastic Bending [J]. Metal Forming Technology, 2004, 22(3): 30-32.
- [9] 贺广零, 卢晋福, 桂海林, 等. 宽板弯曲成形过程中的板厚变化规律[J]. 塑性工程学报, 2006, 13(6): 48-51.  
He Guangling, Lu Jinfu, Gui Hailin, et al. Law of Thickness Variation in the Wide Sheet Bending[J]. Journal of Plasticity Engineering, 2006, 13(6): 48-51.
- (责任编辑: 李玉珍)